



УДК 539.375

© 2012

А. А. Каминский, Л. А. Кипнис, Г. А. Хазин

О страгивании межфазных трещин в угловой точке границы раздела сред при полном гладком контакте берегов

(Представлено академиком НАН Украины Я. М. Григоренко)

Рассмотрена задача о страгивании межфазных трещин в кусочно-однородном изотропном упругом теле в угловой точке границы раздела сред в случае полного гладкого контакта берегов. Точное решение соответствующей краевой задачи построено методом Винера–Хопфа.

Для горного дела существенный интерес представляют решения задач теории упругости о предельном равновесии тел, находящихся в условиях сжатия и содержащих трещины с контактирующими берегами. Такие трещины могут зарождаться вблизи различных остроконечных концентраторов напряжений в горных массивах сложной структуры. Если эти трещины неустойчивы, то после достижения состояния предельного равновесия режим их развития будет динамическим, что может привести к разрушению массива.

Ниже дается решение задачи о предельном равновесии кусочно-однородного изотропного упругого тела с межфазными трещинами в угловой точке границы раздела сред в случае полного гладкого контакта берегов.

В условиях плоской деформации в рамках статической симметричной задачи рассмотрим кусочно-однородное тело с границей раздела сред в форме сторон угла, которое составлено из изотропных упругих частей с модулями Юнга E_1 , E_2 ($E_1 > E_2$) и коэффициентами Пуассона ν_1 , ν_2 (рис. 1).

В силу общих положений о поведении напряжений вблизи угловых точек упругих тел [1] угловая точка границы раздела сред O представляет собой остроконечный концентратор напряжений со степенной особенностью. При этом справедливы следующие формулы:

$$\tau_{r\theta}(r, 0) = Cg_1 r^\lambda + o(r^\lambda), \quad \sigma_\theta(r, 0) = Cg_2 r^\lambda + o(r^\lambda) \quad (r \rightarrow 0).$$

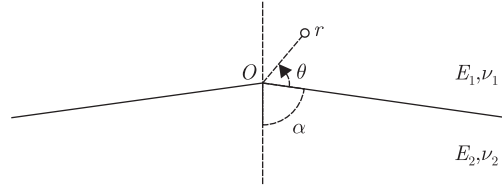


Рис. 1

Здесь

$$g_1 = \lambda g_{11} \sin \lambda \alpha + g_{12} \sin(\lambda + 2)\alpha,$$

$$g_{11} = (1 - e)\lambda^2 \sin^2 2\alpha \cos(\lambda + 2)\alpha - (1 - \varkappa_1 - 2e)\lambda \sin 2\alpha \cos(\lambda + 2)\alpha \cos \lambda(\pi - \alpha) \times \\ \times \sin[\lambda(\pi - \alpha) - 2\alpha] + [2 - (1 - \varkappa_2)e]\lambda \sin 2\alpha \cos \lambda \alpha \sin(\lambda + 2)\alpha \cos(\lambda + 2)\alpha - \\ - 2[1 - \varkappa_1 - (1 - \varkappa_2)e] \cos \lambda \alpha \sin(\lambda + 2)\alpha \cos(\lambda + 2)\alpha \cos \lambda(\pi - \alpha) \sin[\lambda(\pi - \alpha) - 2\alpha] + \\ + (1 + \varkappa_1)\lambda \sin 2\alpha \sin(\lambda + 2)\alpha \cos \lambda(\pi - \alpha) \cos[\lambda(\pi - \alpha) - 2\alpha] + \\ + (1 + \varkappa_1)(1 - \varkappa_2) \cos \lambda \alpha \sin^2(\lambda + 2)\alpha \cos \lambda(\pi - \alpha) \cos[\lambda(\pi - \alpha) - 2\alpha] - \\ - (1 + \varkappa_2)\lambda \sin 2\alpha \cos \lambda \alpha \sin(\lambda + 2)\alpha \cos(\lambda + 2)\alpha + \\ + (1 - \varkappa_1)(1 + \varkappa_2) \cos \lambda \alpha \sin(\lambda + 2)\alpha \cos(\lambda + 2)\alpha \cos \lambda(\pi - \alpha) \sin[\lambda(\pi - \alpha) - 2\alpha],$$

$$g_{12} = (1 - \varkappa_1 - 2e)\lambda(1 - \varkappa_2 + \lambda) \sin 2\alpha \cos \lambda \alpha \cos \lambda(\pi - \alpha) \sin[\lambda(\pi - \alpha) - 2\alpha] - \\ - (1 - e)(1 - \varkappa_2 + \lambda)\lambda^2 \sin^2 2\alpha \cos \lambda \alpha - \\ - [2 - (1 - \varkappa_2)e]\lambda(1 - \varkappa_2 + \lambda) \sin 2\alpha \cos^2 \lambda \alpha \sin(\lambda + 2)\alpha + \\ + 2[1 - \varkappa_1 - (1 - \varkappa_2)e](1 - \varkappa_2 + \lambda) \cos^2 \lambda \alpha \sin(\lambda + 2)\alpha \cos \lambda(\pi - \alpha) \sin[\lambda(\pi - \alpha) - 2\alpha] - \\ - (1 + \varkappa_1)\lambda^2 \sin 2\alpha \sin \lambda \alpha \cos \lambda(\pi - \alpha) \cos[\lambda(\pi - \alpha) - 2\alpha] - \\ - (1 + \varkappa_1)(1 - \varkappa_2)\lambda \sin \lambda \alpha \cos \lambda \alpha \sin(\lambda + 2)\alpha \cos \lambda(\pi - \alpha) \cos[\lambda(\pi - \alpha) - 2\alpha] + \\ + (1 + \varkappa_2)\lambda^2 \sin 2\alpha \sin \lambda \alpha \cos \lambda \alpha \cos(\lambda + 2)\alpha - \\ - (1 - \varkappa_1)(1 + \varkappa_2)\lambda \sin \lambda \alpha \cos \lambda \alpha \cos(\lambda + 2)\alpha \cos \lambda(\pi - \alpha) \sin[\lambda(\pi - \alpha) - 2\alpha],$$

$$e = \frac{1 + \nu_2}{1 + \nu_1} e_0, \quad e_0 = \frac{E_1}{E_2}, \quad \varkappa_{1,2} = 3 - 4\nu.$$

Для g_2 имеет место подобное выражение.

Показатель степени сингулярности напряжений λ представляет собой единственный на интервале $] - 1; 0]$ корень уравнения

$$\Delta(-x - 1) = 0, \quad \Delta(z) = \delta_0(z) + \delta_1(z)e + \delta_2(z)e^2,$$

$$\delta_0(z) = (\sin 2z\alpha + z \sin 2\alpha)[\varkappa_1 \sin 2z(\pi - \alpha) + z \sin 2\alpha],$$

$$\delta_1(z) = (1 + \varkappa_1)(1 + \varkappa_2) \sin^2 z\pi - (\sin 2z\alpha + z \sin 2\alpha)[\varkappa_1 \sin 2z(\pi - \alpha) + z \sin 2\alpha] - \\ - [\sin 2z(\pi - \alpha) - z \sin 2\alpha](\varkappa_2 \sin 2z\alpha - z \sin 2\alpha),$$

$$\delta_2(z) = [\sin 2z(\pi - \alpha) - z \sin 2\alpha](\varkappa_2 \sin 2z\alpha - z \sin 2\alpha).$$

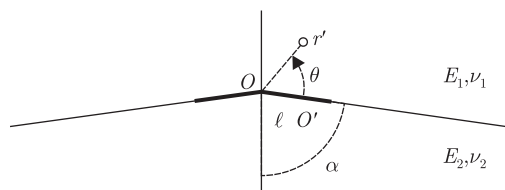


Рис. 2

Постоянная C должна определяться из решения каждой конкретной задачи теории упругости, изображенной на рис. 1. Будем считать эту постоянную отрицательной возрастающей по модулю функцией внешней нагрузки, что соответствует широкому классу задач, в которых тело находится в условиях сжатия.

Как показывают результаты расчетов, $\lambda > -1/2$; $g_1(\alpha) < 0$ при $\alpha \neq 0, \pi/2, \pi$; $g_1(0) = g_1(\pi/2) = g_1(\pi) = 0$; $g_1 = 0$, если $E_1 = E_2, \nu_1 = \nu_2$; $g_2(\alpha) < 0$ при $\alpha \in]0; \alpha_1[\cup]\pi/2; \alpha_2]$, $g_2(\alpha) > 0$ при $\alpha \in]\alpha_1; \pi/2[\cup]\alpha_2; \pi]$, $g_2(0) = g_2(\alpha_1) = g_2(\pi/2) = g_2(\alpha_2) = g_2(\pi) = 0$; $g_2 = 0$, если $E_1 = E_2, \nu_1 = \nu_2$. Если e_0 увеличивается, то α_1, α_2 уменьшаются.

В табл. 1 приведены некоторые значения показателя степени сингулярности напряжений λ при $\nu_1 \nu_2 = 0,3$. Значениям e_0 , равным 2; 3; 5; 10, соответствуют значения α_1 , равные $38,2^\circ$; $34,4^\circ$; $29,3^\circ$; $21,7^\circ$, и значения α_2 , равные $134,2^\circ$; $133,4^\circ$; $133,1^\circ$; $131,3^\circ$ ($\nu_1 = \nu_2 = 0,3$).

Используя приведенную информацию о функции g_2 и считая всюду в дальнейшем $\alpha \in]\alpha_1; \pi/2[\cup]\alpha_2; \pi[$, заключаем, что $\sigma_\theta(r, 0) \rightarrow -\infty$ при $r \rightarrow 0$. Поэтому на границе раздела сред вблизи угловой точки нормальные напряжения являются сжимающими. Тогда вследствие высокой концентрации напряжений в угловой точке возможно зарождение исходящих из нее межфазных трещин с полностью контактирующими берегами, длина которых в значительной степени меньше размеров тела. Чем больше отличаются друг от друга материалы, тем шире область значений угла α , при которых следует ожидать образование таких трещин. Предполагается, что трение между берегами трещин отсутствует.

Ставится задача определения условия страгивания зародившихся трещин и исследования их равновесия на устойчивость.

С учетом малости трещин приходим к плоской статической симметричной задаче теории упругости для кусочно-однородной изотропной плоскости с границей раздела сред в форме сторон угла, содержащей разрезы конечной длины, исходящие из угловой точки и расположенные на этой границе (рис. 2). На бесконечности реализуется асимптотика, представляющая собой решение аналогичной задачи без разрезов (задача К), порождаемое единственным на интервале $]-1; 0[$ корнем ее характеристического уравнения. Произвольная постоянная C , входящая в указанное решение, считается заданной. Она характеризует интенсивность внешнего поля и должна определяться из решения внешней задачи.

Таблица 1

e_0	$\alpha, ^\circ$									
	15	30	45	60	75	105	120	135	150	165
2	-0,036	-0,075	-0,112	-0,112	-0,086	-0,025	-0,054	-0,089	-0,117	-0,104
3	-0,068	-0,132	-0,180	-0,184	-0,127	-0,037	-0,081	-0,130	-0,173	-0,168
5	-0,122	-0,232	-0,258	-0,248	-0,167	-0,049	-0,104	-0,168	-0,228	-0,241
10	-0,215	-0,310	-0,332	-0,308	-0,203	-0,059	-0,124	-0,202	-0,278	-0,318

Граничные условия рассматриваемой задачи (рис. 2) имеют следующий вид:

$$\theta = \pi - \alpha, \quad \tau_{r\theta} = 0, \quad u_\theta = 0; \theta = -\alpha, \tau_{r\theta} = 0, \quad u_\theta = 0; \quad (1)$$

$$\theta = 0, \quad \langle \sigma_\theta \rangle = \langle \tau_{r\theta} \rangle = 0, \quad \langle u_\theta \rangle = 0;$$

$$\theta = 0, \quad r < l, \tau_{r\theta} = 0; \quad \theta = 0, \quad r > l, \quad \langle u_r \rangle = 0; \quad (2)$$

$$\theta = 0, \quad r \rightarrow \infty, \quad \tau_{r\theta} = Cg_1 r^\lambda + o(1/r). \quad (3)$$

Здесь $-\alpha \leq \theta \leq \pi - \alpha$; $\langle a \rangle$ — скачок a .

Решение сформулированной задачи теории упругости представляет собой сумму решений следующих двух задач. Первая отличается от нее тем, что вместо первого условия (2) имеем

$$\theta = 0, \quad r < l, \quad \tau_{r\theta} = -Cg_1 r^\lambda, \quad (4)$$

а на бесконечности напряжения затухают как $o(1/r)$ (в (3) отсутствует первое слагаемое). Вторая задача — задача К. Поскольку решение второй задачи известно, достаточно построить решение первой.

Для построения точного решения первой задачи используется метод Винера–Хопфа в сочетании с аппаратом интегрального преобразования Меллина [2–4].

Применяя преобразование Меллина к уравнениям равновесия, условию совместности деформаций, закону Гука, условиям (1) и учитывая второе условие (2) и условие (4), приходим к следующему функциональному уравнению Винера–Хопфа:

$$\begin{aligned} \Phi^+(p) + \frac{\tau}{p + \lambda + 1} &= A \operatorname{ctg} p\pi G(p) \Phi^-(p) \\ A &= \frac{(1 + \varkappa_1)[1 + \varkappa_1 + (1 + \varkappa_2)e]}{2[\varkappa_1 + (1 + \varkappa_1 \varkappa_2)e + \varkappa_2 e^2]}, \quad G(p) = \frac{G_1(p)}{G_2(p)}, \\ G_1(p) &= [\varkappa_1 + (1 + \varkappa_1 \varkappa_2)e + \varkappa_2 e^2][a_0(p) + a_1(p)e] \sin p\pi, \\ G_2(p) &= [1 + \varkappa_1 + (1 + \varkappa_2)e][b_0(p) + b_1(p)e + b_2(p)e^2] \cos p\pi, \\ a_0(p) &= (1 + \varkappa_1)[\cos 2p(\pi - \alpha) - \cos 2\alpha](\sin 2p\alpha + p \sin 2\alpha), \\ a_1(p) &= (1 + \varkappa_2)(\cos 2p\alpha - \cos 2\alpha)[\sin 2p(\pi - \alpha) - p \sin 2\alpha], \\ b_0(p) &= (\sin 2p\alpha + p \sin 2\alpha)[\varkappa_1 \sin 2p(\pi - \alpha) + p \sin 2\alpha], \\ b_1(p) &= (1 + \varkappa_1)(1 + \varkappa_2) \sin^2 p\pi - (\sin 2p\alpha + p \sin 2\alpha)[\varkappa_1 \sin 2p(\pi - \alpha) + p \sin 2\alpha] - \\ &\quad - [\sin 2p(\pi - \alpha) - p \sin 2\alpha](\varkappa_2 \sin 2p\alpha - p \sin 2\alpha), \\ b_2(p) &= [\sin 2p(\pi - \alpha) - p \sin 2\alpha](\varkappa_2 \sin 2p\alpha - p \sin 2\alpha), \quad \tau = -Cg_1 l^\lambda, \\ \Phi^+(p) &= \int_1^\infty \tau_{r\theta}(\rho l, 0) \rho^p d\rho, \quad \Phi^-(p) = \frac{E_1}{4(1 - \nu_1^2)} \int_0^1 \left\langle \frac{\partial u_r}{\partial r} \right\rangle \Big|_{\substack{r=\rho l \\ \theta=0}} \rho^p d\rho. \end{aligned} \quad (5)$$

Здесь $-\varepsilon_1 < \operatorname{Re} p < \varepsilon_2$, $\varepsilon_{1,2}$ — достаточно малые положительные числа.

Подобные уравнения решены, например, в [2, 3].

Решение уравнения (5) имеет вид

$$\begin{aligned}\Phi^+ &= \frac{\tau K^+(p)G^+(p)}{p + \lambda + 1} \left[\frac{1}{K^+(-\lambda - 1)G^+(-\lambda - 1)} - \frac{1}{K^+(p)G^+(p)} \right] \quad (\operatorname{Re} p < 0), \\ \Phi^-(p) &= \frac{\tau p G^-(p)}{AK^+(-\lambda - 1)G^+(-\lambda - 1)(p + \lambda + 1)K^-(p)} \quad (\operatorname{Re} p > 0), \\ \exp \left[\frac{1}{2\pi i} \int_{-i\infty}^{i\infty} \frac{\ln G(z)}{z - p} dz \right] &= \begin{cases} G^+(p), & \operatorname{Re} p < 0, \\ G^-(p), & \operatorname{Re} p > 0, \end{cases} \\ K^\pm(p) &= \frac{\Gamma(1 \mp p)}{\Gamma(1/2 \mp p)}\end{aligned}\tag{6}$$

($\Gamma(z)$ — гамма-функция).

Определим коэффициент интенсивности напряжений K_{II} в конце O' трещины. Вблизи точки O' в силу общих положений о поведении напряжений в окрестностях угловых точек упругих тел реализуется асимптотика, представляющая собой решение однородной статической задачи теории упругости для кусочно-однородной изотропной плоскости, содержащей на прямолинейной границе раздела сред полубесконечную линию разрыва касательного смещения, порождаемое корнем $-1/2$ ее характеристического уравнения. В частности, имеют место асимптотики

$$\begin{aligned}\theta = 0, \quad r \rightarrow l + 0, \quad \tau_{r\theta} &\sim \frac{\varkappa_1 + e + 1 + \varkappa_2 e}{2(1 + \varkappa_2 e)} \frac{K_{II}}{\sqrt{2\pi(r - l)}}, \\ \theta = 0, \quad r \rightarrow l - 0, \quad \left\langle \frac{\partial u_r}{\partial r} \right\rangle &\sim -\frac{4(1 - \nu_1^2)}{E_1} \frac{\varkappa_1 + e}{1 + \varkappa_1} \frac{K_{II}}{\sqrt{2\pi(l - r)}}.\end{aligned}\tag{7}$$

Исходя из (7), по теореме абелева типа получаем

$$p \rightarrow \infty, \quad \Phi^+(p) \sim \frac{\varkappa_1 + e + 1 + \varkappa_2 e}{2(1 + \varkappa_2 e)} \frac{K_{II}}{\sqrt{-2pl}}; \quad \Phi^-(p) \sim -\frac{\varkappa_1 + e}{1 + \varkappa_1} \frac{K_{II}}{\sqrt{2pl}}.\tag{8}$$

С помощью (6) находим асимптотику

$$p \rightarrow \infty, \quad \Phi^-(p) \sim \frac{\tau}{AK^+(-\lambda - 1)G^+(-\lambda - 1)\sqrt{p}}.\tag{9}$$

Согласно (8), (9) получаем формулу для коэффициента интенсивности напряжений в конце O' трещины

$$K_{II} = \frac{2\sqrt{2}(1 + \varkappa_2 e)g_1\Gamma(\lambda + 3/2)}{[1 + \varkappa_1 + (1 + \varkappa_2)e]\Gamma(\lambda + 2)G^+(-\lambda - 1)} Cl^{\lambda+1/2}.\tag{10}$$

Руководствуясь силовым критерием разрушения [5] и приравнявая правую часть (10) к критическому значению коэффициента интенсивности напряжений K_{IIc} , представляющему собой заданную постоянную материала, приходим к следующему уравнению, служащему для определения разрушающей нагрузки:

$$C = \frac{[1 + \varkappa_1 + (1 + \varkappa_2)e]\Gamma(\lambda + 2)G^+(-\lambda - 1)}{2\sqrt{2}(1 + \varkappa_2 e)g_1\Gamma(\lambda + 3/2)} \frac{K_{IIc}}{l^{\lambda+1/2}}.\tag{11}$$

Таким образом, страгивание трещин произойдет тогда, когда параметр нагружения C , возрастая по модулю с ростом внешней нагрузки, достигнет своего предельного значения, определяемого формулой (11).

Поскольку $\lambda > -1/2$, из (10) находим

$$\frac{\partial K_{II}}{\partial l} = \frac{2\sqrt{2}(1 + \kappa_2 e)(\lambda + 1/2)g_1 \Gamma(\lambda + 3/2)}{[1 + \kappa_1 + (1 + \kappa_2)e]\Gamma(\lambda + 2)G^+(-\lambda - 1)} C l^{\lambda-1/2} > 0. \quad (12)$$

Используя (12) и критерий устойчивости равновесия трещин [5], можно сформулировать следующий вывод. Если из угловой точки границы раздела изотропных упругих сред исходят межфазные трещины, длина которых в значительной степени меньше размеров тела, находящегося в условиях сжатия, то в случае полного гладкого контакта берегов их равновесие неустойчиво. После достижения состояния предельного равновесия режим развития трещин будет динамическим.

1. *Партон В. З., Перлин П. И.* Методы математической теории упругости. – Москва: Наука, 1981. – 688 с.
2. *Каминский А. А., Кипнис Л. А., Хазин Г. А.* О критерии начала роста двух сдвиговых трещин в упругом теле в условиях плоской деформации // Прикл. механика. – 2006. – **42**, № 4. – С. 83–90.
3. *Каминский А. А., Кипнис Л. А., Хазин Г. А.* Об устойчивости равновесия трещины Коттрелла // Прикл. механика. – 2010. – **46**, № 2. – С. 13–23.
4. *Нобл Б.* Применение метода Винера–Хопфа для решения дифференциальных уравнений в частных производных. – Москва: Изд-во иностр. лит., 1962. – 279 с.
5. *Механика разрушения и прочность материалов: Справ. пособие.* В 4 т. Т. 1. Основы механики разрушения материалов / Панасюк В. В., Андрейкив А. Е., Партон В. З. – Киев: Наук. думка, 1988. – 488 с.

*Институт механики им. С. П. Тимошенко
НАН Украины, Киев
Уманский государственный педагогический
университет им. Павла Тычины*

Поступило в редакцию 01.12.2011

А. О. Камінський, Л. А. Кіпніс, Г. А. Хазін

Про зрушення міжфазних тріщин у кутовій точці межі поділу середовищ при повному гладкому контакті берегів

Розглянуто задачу про зрушення міжфазних тріщин у кусково-однорідному ізотропному пружному тілі в кутовій точці межі поділу середовищ у випадку повного гладкого контакту берегів. Точний розв'язок відповідної крайової задачі побудовано методом Вінера–Хопфа.

A. A. Kaminsky, L. A. Kipnis, G. A. Khazin

On the start of interfacial cracks at a corner point of the interface under a full smooth contact of faces

The problem of the start of the interfacial cracks in a piece-homogeneous isotropic elastic body at a corner point of the interface is considered in the case of a full smooth contact of faces. An exact solution of the corresponding boundary-value problem is constructed by the Wiener–Hopf method.